

МОСКОВСКИЙ ГОСУДАРСТВЕННЫЙ УНИВЕРСИТЕТ  
имени М.В.Ломоносова  
Факультет вычислительной математики и кибернетики  
Компьютерный практикум по учебному курсу  
«ВВЕДЕНИЕ В ЧИСЛЕННЫЕ МЕТОДЫ»  
Численные методы интерполирования и приближения функций  
ОТЧЁТ  
о выполненном задании  
студента 209 учебной группы факультета ВМК МГУ  
Кольцова Кирилла Евгеньевича

# Содержание

<b>1</b>	<b>Постановка задачи</b>	<b>3</b>
<b>2</b>	<b>Методы решения</b>	<b>3</b>
2.1	Метод интерполяции Лагранжа . . . . .	3
2.1.1	Описание . . . . .	3
2.1.2	Проблемы вычислений . . . . .	3
2.1.3	Барицентрическая форма . . . . .	4
2.1.4	Результаты вычислений . . . . .	4
2.1.5	Исследование на сходимость . . . . .	6
2.2	Метод интерполяции кубическими сплайнами . . . . .	7
2.2.1	Описание . . . . .	7
2.2.2	Результаты вычислений . . . . .	8
2.2.3	Исследование на сходимость . . . . .	9
<b>3</b>	<b>Программная реализация</b>	<b>10</b>
3.1	Инициализация . . . . .	10
3.2	Вычисление значений . . . . .	11
3.3	Дополнительные функции . . . . .	12
<b>4</b>	<b>Заключение</b>	<b>12</b>
4.1	Выводы . . . . .	12
4.2	Литература . . . . .	12

# 1 Постановка задачи

Задачей является построение интерполянтов разных типов заданных функций. Требуется построить полином Лагранжа для следующих функций  $f_i(x)$  на отрезке  $x \in [0, 2]$ :

$$f_1(x) = \frac{1}{2^5 \cdot 5!} \frac{d^5}{dx^5} \left[ (x^2 - 1)^5 \right],$$

$$f_2(x) = |\sin(4x)| e^{2x}.$$

В качестве узлов интерполяции необходимо использовать узлы равномерной на  $[0, 2]$  сетки для количества узлов  $n = 3, 5, 9, 17$ .

Также нужно исследовать сходимость интерполяции и найти максимальные отклонения

$$\max |L_n(x) - f_i(x)|$$

на равномерной сетке из 1001 узла, где  $L_n(x)$  - интерполинт. По пути построить графики исходных функций и их интерполянтов, подобрать более эффективный численный метод приближения функции для второй функции.

## 2 Методы решения

### 2.1 Метод интерполяции Лагранжа

#### 2.1.1 Описание

Метод интерполяции Лагранжа позволяет построить полином, проходящий через заданные узлы интерполяции. Пусть заданы узлы:

$$(x_0, y_0), (x_1, y_1), \dots, (x_n, y_n),$$

где  $y_i = f(x_i)$ . Интерполяционный полином Лагранжа имеет вид:

$$L_n(x) = \sum_{i=0}^n y_i \phi_i(x),$$

где

$$\phi_i(x) = c_i \prod_{\substack{j=0 \\ j \neq i}}^n (x - x_j), c_i = \frac{1}{\prod_{\substack{j=0 \\ j \neq i}}^n (x_i - x_j)}, i = 0..n.$$

Построенный многочлен проходит через все узлы интерполирования:

$$f(x_i) = \sum_{k=0}^n f(x_k) \phi_k(x_i), i = 0..n.$$

Интерполяция Лагранжа применяется в астрономии для вычисления положения небесных тел и в инженерии для построения калибровочных кривых.

#### 2.1.2 Проблемы вычислений

Основные проблемы данного метода кроются в его основе — многочлене с высокой степенью.

При увеличении числа узлов интерполяции многочлен Лагранжа начинает вести себя нестабильно на краях интервала, что получило особое название — эффект Рунге.

Также для высоких степеней многочлена, возникающих при увеличении числа узлов, расчёты становятся численно неустойчивыми из-за ошибок округления.

Кроме того, если придерживаться определения, то при добавлении новых точек необходимо пересчитать весь многочлен, что делает метод малоэффективным для задач с динамическим изменением данных.

### 2.1.3 Барицентрическая форма

Барицентрическая форма полинома Лагранжа призвана решить некоторые проблемы, а именно пересчет многочлена при добавлении точки и численную неустойчивость.

Заметим, что если мы возьмём в качестве функции  $x^m$  и посчитаем значения  $x_i^m$  в узлах интерполирования, то получим формулу:

$$x^m = \sum_{i=0}^n x_i^m \cdot \phi_i(x).$$

Дифференцируя это тождество по  $x$ , будем иметь для  $m = 0..n$ :

$$\sum_{i=0}^n x_i^m \phi_i(x) = m x^{m-1},$$

из которой при  $m = 0$  вытекает

$$\sum_{i=0}^n \phi_i(x) = 1.$$

Далее, если ввести полином  $\omega_{n+1}(x) = \prod_{k=0}^n (x - x_k)$ , то можно записать для  $x \neq x_i$

$$\phi_i(x) = c_i \frac{\omega_{n+1}(x)}{x - x_i}.$$

Исходную формулу можно переписать в виде

$$L_n(x) = \omega_{n+1}(x) \sum_{i=0}^n \frac{c_i f_i}{x - x_i}.$$

С другой стороны, для  $m = 0$  имеем

$$1 = \omega_{n+1}(x) \sum_{i=0}^n \frac{c_i}{x - x_i}.$$

Поделив одно на другое, получим при  $x \neq x_i$

$$L_n(x) = \frac{\sum_{i=0}^n \frac{c_i f_i}{x - x_i}}{\sum_{i=0}^n \frac{c_i}{x - x_i}}.$$

Это представление является барицентрической формой. Подобный способ вычисления более экономичен и устойчив к ошибкам округления.

### 2.1.4 Результаты вычислений

Для  $f_1(x)$

Были проведены вычисления интерполянтов по узлам равномерной на  $[0, 2]$  сетки для количества узлов  $n = 3, 5, 9, 17$  и построены графики функций. Также для каждого интерполианта было посчитано максимальное отклонение на равномерной сетке из 1001 узла. Результаты приведены ниже:

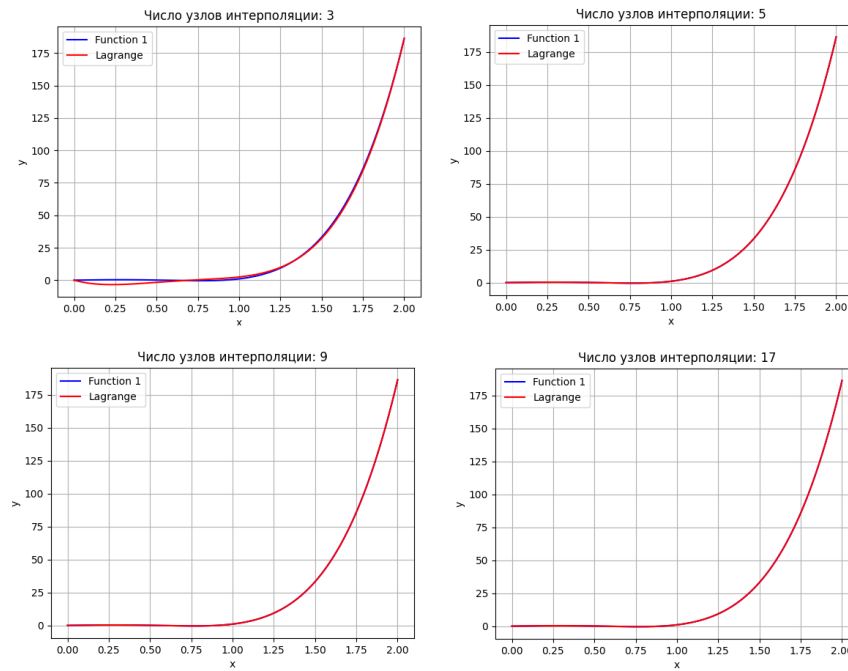


Рис. 1: Графики  $f_1(x)$  и полинома лагранжа для количества узлов интерполяции  $n = 3, 5, 9, 17$  на  $[0, 2]$

Примечательно рассмотреть отрезок  $[0, 1]$ :

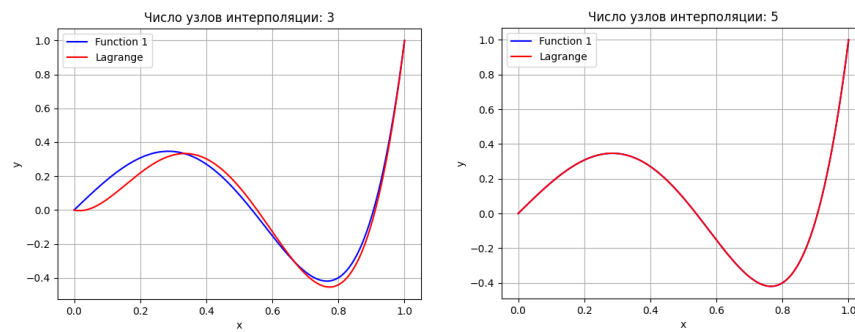


Рис. 2: Графики  $f_1(x)$  и полинома лагранжа для количества узлов интерполяции  $n = 3, 5$  на  $[0, 1]$

Максимальные отклонения для количества узлов интерполяции  $n = 3, 5, 9, 17$  на сетке из 1001 узла приведены в таблице:

$n = 3$	$n = 5$	$n = 9$	$n = 17$
3.765905941283157	1.3244516594568267e-11	1.34718902700115e-11	1.3244516594568267e-11

Таблица 1: Отклонения значений полинома Лагранжа от значений  $f_1(x)$  в зависимости от количества узлов

Для  $f_2(x)$  (аналогично)

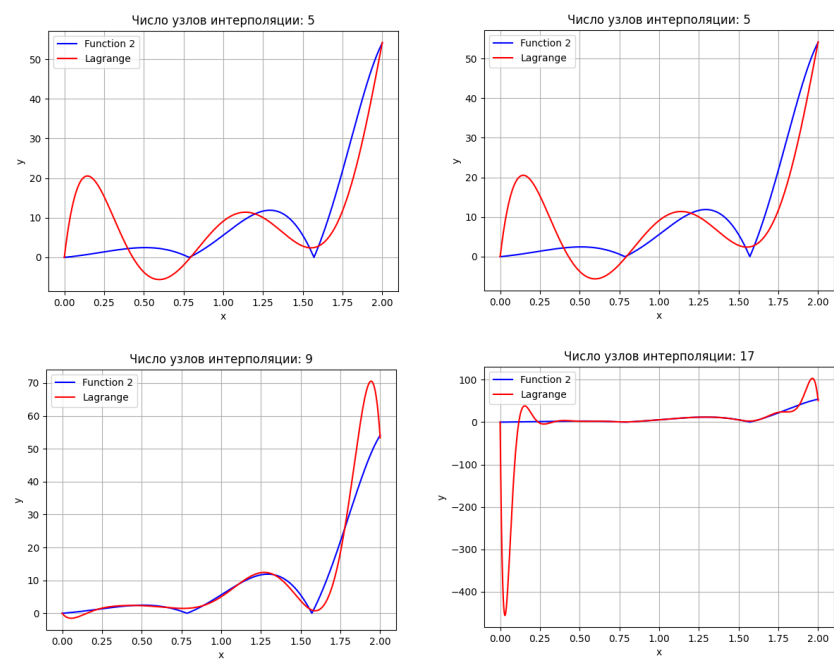


Рис. 3: Графики  $f_2(x)$  и полинома Лагранжа для количества узлов интерполяции  $n = 3, 5, 9, 17$  на  $[0, 2]$

$n = 3$	$n = 5$	$n = 9$	$n = 17$
20.44686836622694	19.829961952477838	22.831417382271724	456.19184772051335

Таблица 2: Отклонения значений полинома Лагранжа от значений  $f_2(x)$  в зависимости от количества узлов

### 2.1.5 Исследование на сходимость

Исследование на сходимость проводилось на сетке из 1001 узла, в каждом из которых сравнивалось значение функции и интреполянта. На графиках в левом столбце показана зависимость отклонения от количества узлов, вплоть до 80 узлов (для наглядности роста). В правом же столбце вплоть до 500. В первой строке исследуется функция  $f_1(x)$ , во второй —  $f_2(x)$ .

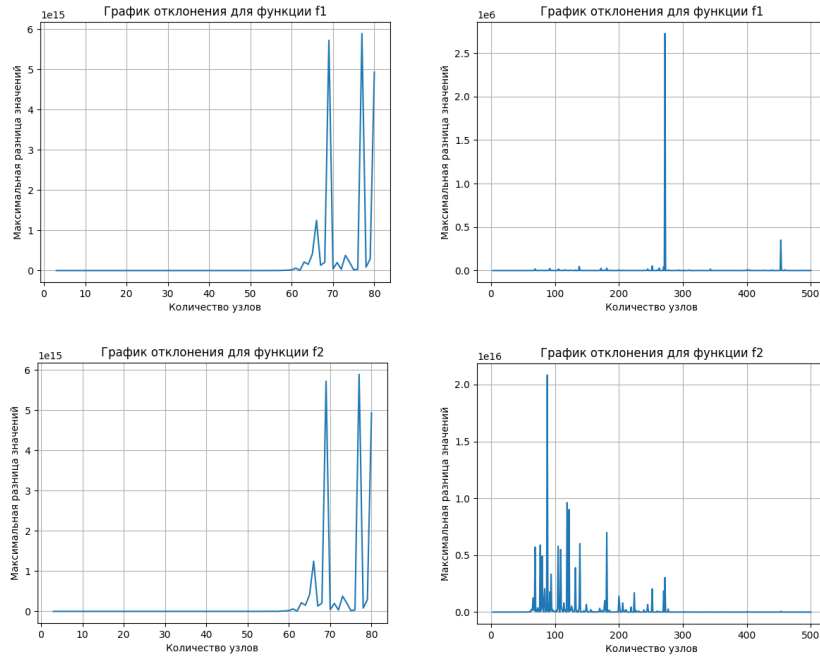


Рис. 4: Исследование полинома Лагранжа на сходимость на  $[0, 2]$

Явно виден эффект Рунге, по которому при увеличении количества узлов растет отклонение.

## 2.2 Метод интерполяции кубическими сплайнами

### 2.2.1 Описание

Метод интерполяции кубическими сплайнами был выбран неслучайно. Метод Лагранжа обладает некоторыми серьёзными недостатками при интерполяции  $f_2(x)$ :

- Функция  $|\sin(4x)|$  имеет резкие углы и изменения на некоторых участках, что приводит к высокой чувствительности и колебаниям, особенно вблизи точек пересечений и экстремумов.
- Метод расходится.
- Серьёзное несовпадение значений со значениями функции в большинстве точек отрезка, в независимости от количества узлов.

Интерполяция кубическими сплайнами лишена этих недостатков. Построение соответствующего интерполянта выглядит следующим образом. На отрезке вводится сетка

$$(x_0, y_0), (x_1, y_1), \dots, (x_n, y_n),$$

где  $y_i = f(x_i)$ . Сплайном, соответствующим данной функции  $f_i(x)$  и данным узлам, называется функция  $s(x)$ , удовлетворяющая следующим условиям:

1. на каждом сегменте  $[x_{i-1}, x_i], i = 1..N$  функция  $s(x)$  является многочленом третьей степени;
2. функция  $s(x)$ , а также ее первая и вторая производные непрерывны на  $[a, b]$ ;
3.  $s(x_i) = f(x_i), i = 0..N$

На каждом из отрезков  $[x_{i-1}, x_i], i = 1..N$  будем искать функцию  $s(x) = s_i(x)$  в виде многочлена третьей степени

$$s_i(x) = a_i + b_i(x - x_i) + \frac{c_i}{2}(x - x_i)^2 + \frac{d_i}{6}(x - x_i)^3,$$

$$x_{i-1} \leq x \leq x_i, i = 1..N.$$

Из условий интерполирования и непрерывности первой и второй производных получаем

$$a_i = f(x_i), i = 1..N,$$

$$h_i c_{i-1} + 2(h_i + h_{i+1})c_i + h_{i+1}c_{i+1} = 6\left(\frac{y_{i+1} - y_i}{h_{i+1}} - \frac{y_i - y_{i-1}}{h_i}\right), i = 1..N-1, c_0 = c_N = 0,$$

$$d_i = \frac{c_i - c_{i-1}}{h_i}, i = 1..N,$$

$$b_i = \frac{h_i}{2}c_i - \frac{h_i^2}{6}d_i + \frac{y_i - y_{i-1}}{h_i}, i = 1..N$$

(граничные значения  $c_0$  и  $c_N$  выбраны нулевыми искусственно). Система линейных уравнений для коэффициентов  $c_i$  имеет трехдиагональную матрицу, а значит имеет единственное решение. Кроме того, наблюдается диагональное преобладание, что позволяет отыскать решение методом прогонки, которая в данном случае устойчива.

Сплайны, благодаря их плавности и устойчивости, широко используются в компьютерной графике для создания сглаженных кривых, в гидродинамике для моделирования жидкостей, а также в обработке данных и сигналах для заполнения пропусков и сглаживания функций.

### 2.2.2 Результаты вычислений

Для  $f_1(x)$

Результат для первой функции схож с результатом интерполирования методом Лагранжа:

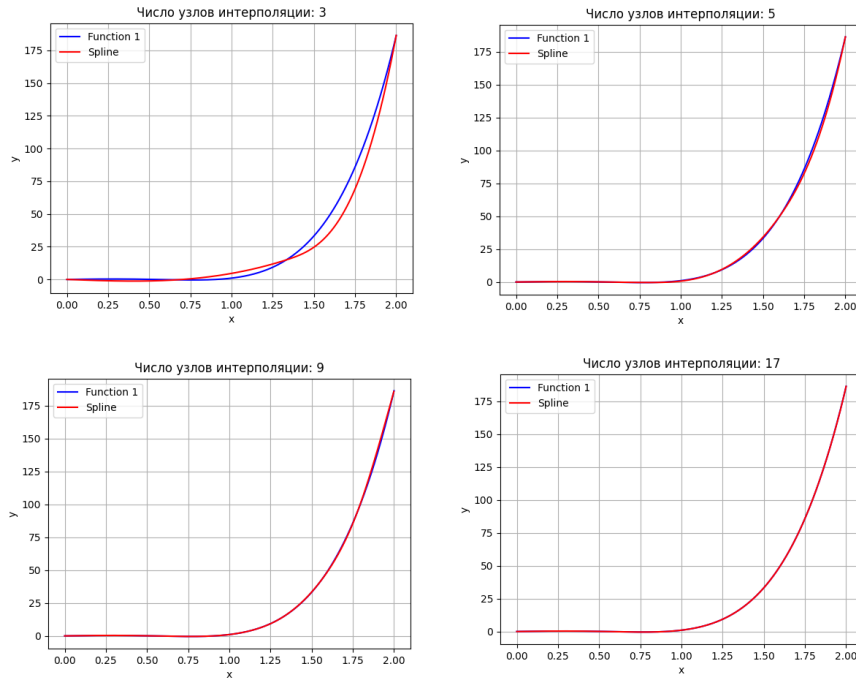


Рис. 5: Графики  $f_1(x)$  и кубического сплайна для количества узлов интерполяции  $n = 3, 5, 9, 17$  на  $[0, 2]$

$n = 3$	$n = 5$	$n = 9$	$n = 17$
16.81075862747487	4.352510044627834	2.7712309500427637	0.25238700112780066

Таблица 3: Отклонения значений сплайна от значений  $f_1(x)$  в зависимости от количества узлов

В то же время интерполирование кубическими сплайнами при тех же параметрах дало заметно более точный результат для  $f_2(x)$ :



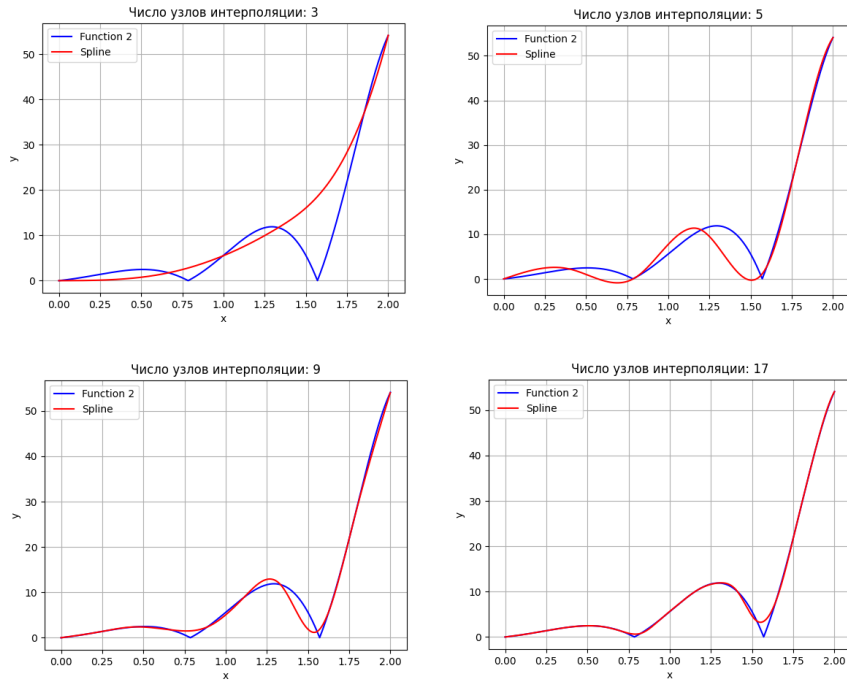


Рис. 6: Графики  $f_2(x)$  и кубического сплайна для количества узлов интерполяции  $n = 3, 5, 9, 17$  на  $[0, 2]$

$n = 3$	$n = 5$	$n = 9$	$n = 17$
18.51850834975229	8.16278232814281	4.166007445350302	3.4108455942021894

Таблица 4: Отклонения значений сплайна от значений  $f_2(x)$  в зависимости от количества узлов

### 2.2.3 Исследование на сходимость

Исследование на сходимость в случае интерполяции кубическими сплайнами проводилось по тому же образцу:

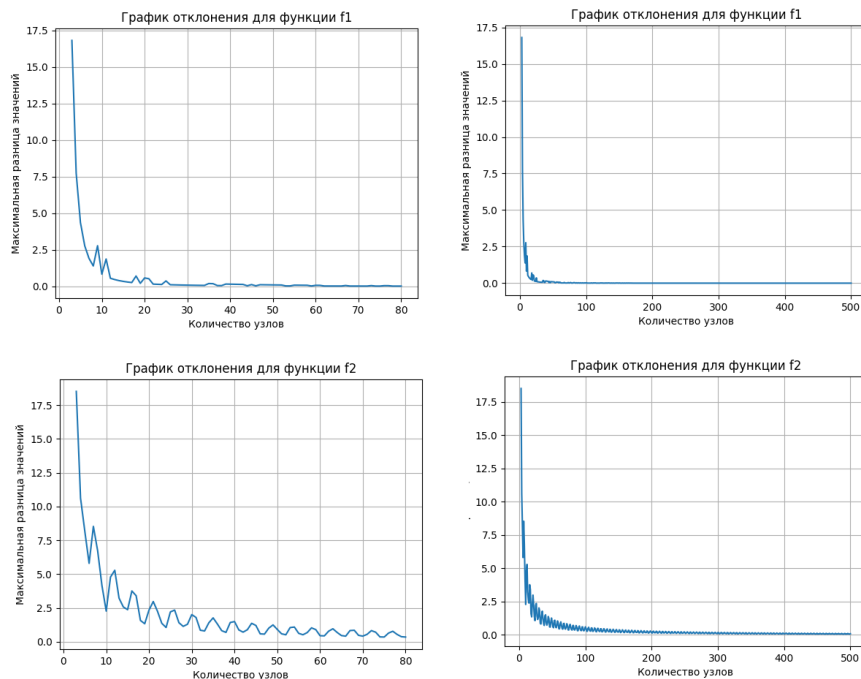


Рис. 7: Исследование сплайна на сходимость на  $[0, 2]$

Отчётливо видно, что в обоих случаях метод сходится. Также примечательно посмотреть на график сплайна при очень большом количестве узлов интерполяции, например при 1001:

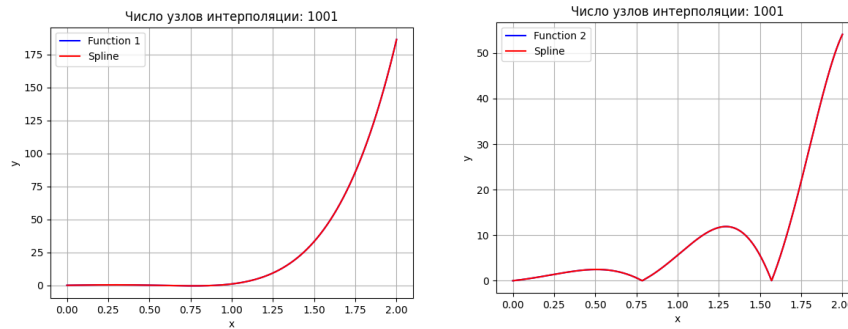


Рис. 8: Графики  $f_1(x)$ ,  $f_2(x)$  и их сплайном при большом количестве узлов интерполяции на  $[0, 2]$

В обоих случаях график сплайна "закрашивает" график исходной функции, что означает весьма точное дублирование её значений.

### 3 Программная реализация

Программа, реализующая все компоненты работы написана на языке Python. Для отрисовки графиков функций использовалась библиотека Matplotlib, для расчёта математических функций  $e^x$  и  $\sin(x)$  использовалась встроенная библиотека math.

Все ключевые параметры настраиваются через глобальные переменные, определенные в самом начале программы.

Оба метода реализованы в виде классов `LagrangeInterpolant` и `SplineInterpolant`.

#### 3.1 Инициализация

Класс содержит в себе две функции: инициализирующую (`__init__`) и возвращающую значение по данному на вход  $x$  (`Calc`). При создании объекта любого из классов происходит инициализация:

- В случае с полиномом Лагранжа происходит расчёт барицентрических весов, которые зависят только от узлов и значений исходной функции в них. В описанных выше формулах это коэффициенты  $c_i$ :

```

1  def __init__(self, nodes, values):
2      self.nodes = nodes
3      self.values = values
4      self.n = len(nodes)
5
6      # Предварительный расчет барицентрических весов
7      self.c = [1] * self.n
8      for j in range(self.n):
9          for k in range(self.n):
10             if k != j:
11                 self.c[j] /= (self.nodes[j] - self.nodes[k])
12

```

- В случае со сплайном происходит расчёт коэффициентов для всех отрезков по формулам, в том числе решение трехдиагонального СЛАУ с помощью метода прогонки (функция `RunThroughMethod`, описана в коде работы):

```

1  def __init__(self, nodes, values):
2      self.nodes = nodes
3      self.values = values
4      self.N = len(nodes) - 1
5      nodes_amount = len(nodes)
6
7      # ГРАНИЧНЫЕ ЗНАЧЕНИЯ КОЭФФИЦИЕНТА c НУЛЕВЫЕ
8      c0 = 0

```

```

9         cN = 0
10
11         '''
12         Все массивы имеют избыточный размер для реализации
13         индексации ровно как в формулах.
14         Во всех циклах и срезах, где фигурирует N (self.N),
15         второй предел увеличен на единицу
16         в связи с особенностями работы python
17         '''
18         self.a = [0 for _ in range(nodes_amount)]
19         self.b = [0 for _ in range(nodes_amount)]
20         self.c = []
21         self.d = [0 for _ in range(nodes_amount)]
22         h = [0 for _ in range(nodes_amount)]
23
24         # Подсчёт коэффициентов a
25         for i in range(len(values)):
26             self.a[i] = values[i]
27
28         # Подсчёт коэффициентов c
29         for i in range(1, self.N + 1):
30             h[i] = nodes[i] - nodes[i - 1]
31
32         temp_h = [0 for _ in range(nodes_amount)]
33         temp_f = [0 for _ in range(nodes_amount)]
34         for i in range(1, (self.N - 1) + 1):
35             temp_h[i] = 2 * (h[i] + h[i + 1])
36             temp_f[i] = (6 * ((values[i + 1] - values[i]) / h[i + 1] - (values[i] - values[i - 1]) / h[i]))
37
38         temp_f[1] -= h[1] * c0
39         temp_f[self.N-1] -= h[self.N] * cN
40
41         self.c = RunThroughMethod(h[2:(self.N-1)+1],
42                                   temp_h[1:(self.N-1)+1],
43                                   h[2:(self.N - 1) + 1],
44                                   temp_f[1:(self.N-1)+1])
45         self.c.insert(0, c0)
46         self.c.append(cN)
47
48         # Подсчёт коэффициентов d
49         for i in range(1, self.N + 1):
50             self.d[i] = (self.c[i] - self.c[i - 1]) / h[i]
51
52         # Подсчёт коэффициентов b
53         for i in range(1, self.N + 1):
54             self.b[i] = h[i] * self.c[i] / 2
55             self.b[i] -= h[i]*h[i] * self.d[i] / 6
56             self.b[i] += (values[i] - values[i - 1]) / h[i]

```

## 3.2 Вычисление значений

Значения вычисляются по следующим правилам:

- В `LagrangeInterpolant` значение считается по барицентрической формуле. Предварительно происходит проверка двух вещественных чисел на равенство с заданной точностью:

```

1         # Подсчёт значения для случайного x
2         def Calc(self, x):
3             numerator = 0
4             denominator = 0
5
6             # Вычисляем числитель и знаменатель барицентрической формулы
7             for j in range(self.n):
8                 # Проверка на совпадение с узлом
9                 if abs(x - self.nodes[j]) < EPSILON:
10                     return self.values[j]

```

```

11         term = self.c[j] / (x - self.nodes[j])
12         numerator += term * self.values[j]
13         denominator += term
14
15     return numerator / denominator
16

```

- В SplineInterpolant считается значение кубического полинома в заданными коэффициентами:

```

1     # Подсчёт значения для случайного x
2     def Calc(self, x):
3         for i in range(1, self.N + 1):
4             if (self.nodes[i - 1] <= x <= self.nodes[i]):
5                 dx = x - self.nodes[i]
6                 res = self.a[i] + self.b[i] * dx + self.c[i] * dx*dx / 2 + self.d[i] * dx*dx*dx / 6
7                 return res

```

### 3.3 Дополнительные функции

Также реализованы некоторые вспомогательные функции: рисующая график, создающая сетку, исследующая на сходимость, решающая трехдиагональную СЛАУ.

## 4 Заключение

### 4.1 Выводы

Метод интерполирования многочленами Лагранжа удобен для небольшого количества узлов благодаря простоте реализации, однако его применение ограничено из-за эффекта Рунге, численной неустойчивости и высокой вычислительной сложности при увеличении числа узлов. Кубические сплайны, напротив, обеспечивают устойчивость к численным ошибкам и удобство работы с большим числом точек, однако требуют решения системы линейных уравнений и выбора граничных условий, что может влиять на точность интерполяции. Таким образом, выбор метода зависит от задачи, требуемой точности и количества узлов.

### 4.2 Литература

Самарский А.А., Гулин А.В. Численные методы. — М.: Наука. стр 127-140

М.Р.Тимербаев, Численные методы. Приближение функций. Численное интегрирование: учебное пособие — Казанский Федеральный Университет: стр. 9-13